

## ANEXOS

del artículo

### Respuesta del sistema erosivo fluvial en las cuencas Ameca y Santiago, centro-occidente de México, ante el control tectónico y volcánico

por

**Arturo Godínez-Tamay y Miguel Castillo-Rodríguez**

*Publicado en la Revista Mexicana de Ciencias Geológicas, v. 39, núm. 2, p. 151-166*

*DOI: <https://doi.org/10.22201/cgeo.20072902e.2022.2.1667>*

---

#### CONTENIDO:

**Anexo 1: Procedimiento de la separación selección de los zircons detríticos.**

**Anexo 2: Fotografías de los zircons detríticos de las muestras.**

**Anexo 3: Diagramas de concordia de los zircons detríticos por muestra.**

**Anexo 4: Histogramas de edad de los zircons detríticos por muestra.**

**Anexo 5: Información geoquímica de los zircons detríticos obtenida por medio de LA-ICP-MS. Seis partes: Santiago, Ameca, Ac15\_6, Ac15\_1, Atenguillo, y Zacoalco.**

*El anexo 5 se encuentra en un archivo separado y se puede descargar en la página web de la Revista [www.rmccg.unam.mx](http://www.rmccg.unam.mx), desde la vista previa de este artículo.*

---

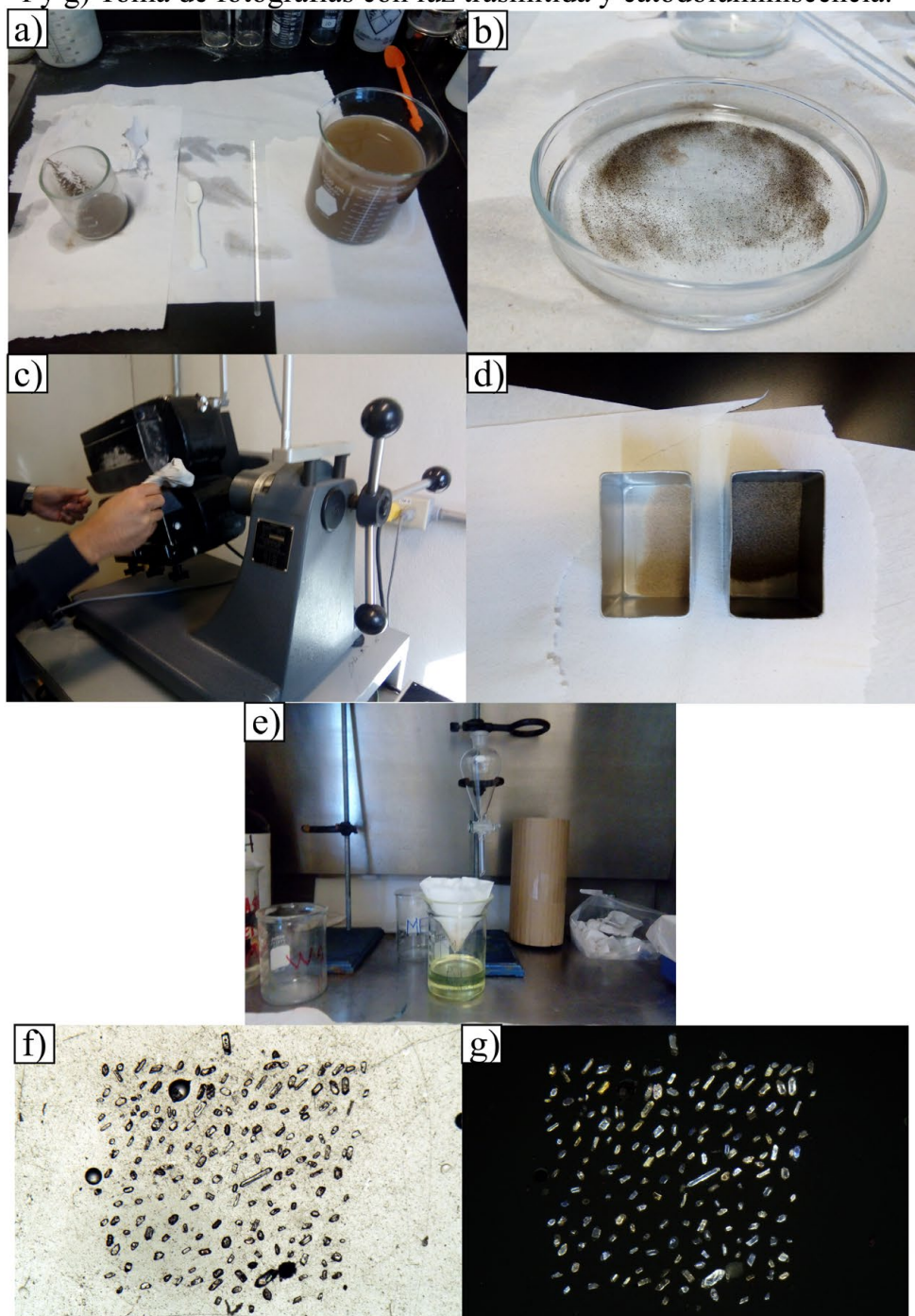
**NOTA:** Estos Anexos se publican tal como fueron enviados por los autores y aceptados por la Revista, no se editaron ni formatearon, por lo que su tipografía o la calidad de las imágenes pueden variar respecto a los del cuerpo del artículo.

---

### Anexo 1:

#### Procedimiento de la separación selección de los zirrones detríticos.

- a) y b) Decantación de muestras de sedimento en vaso de precipitado con agua y selección de zirrones detríticos en caja Petri por medio de microscopio.
- c) y d) Remoción de minerales ferromagnesianos con el separador magnético Frantz.
- e) Uso de líquidos pesados en algunas muestras.
- f y g) Toma de fotografías con luz transmitida y catodoluminiscencia.



**Anexo 2a****Fotografías de los zirones detríticos de las muestras.**

Fotografías en luz transmitida (imágenes del lado izquierdo)

Fotografías con catodoluminiscencia (fotografías del lado derecho)

Muestra Santiago



Muestra Ameca

*continúa*



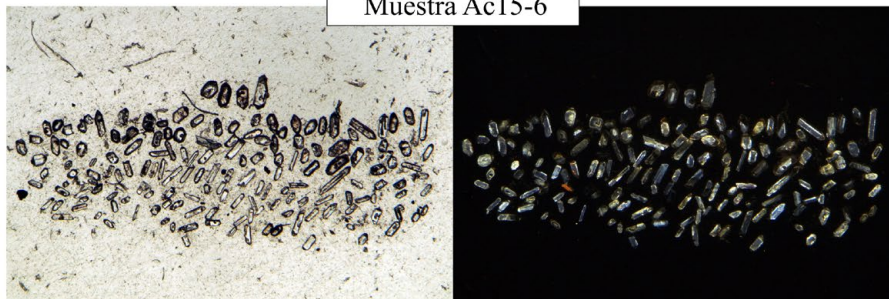
## Anexo 2b

### Fotografías de los zirones detríticos de las muestras.

Fotografías en luz transmitida (imágenes del lado izquierdo)

Fotografías con catodoluminiscencia (fotografías del lado derecho)

Muestra Ac15-6



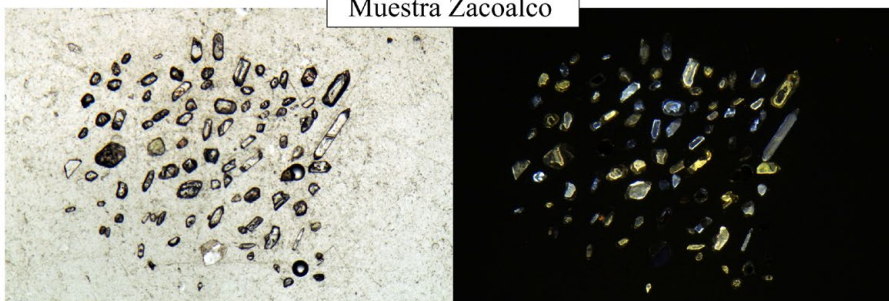
Muestra Atenguillo



Muestra Ac15-1

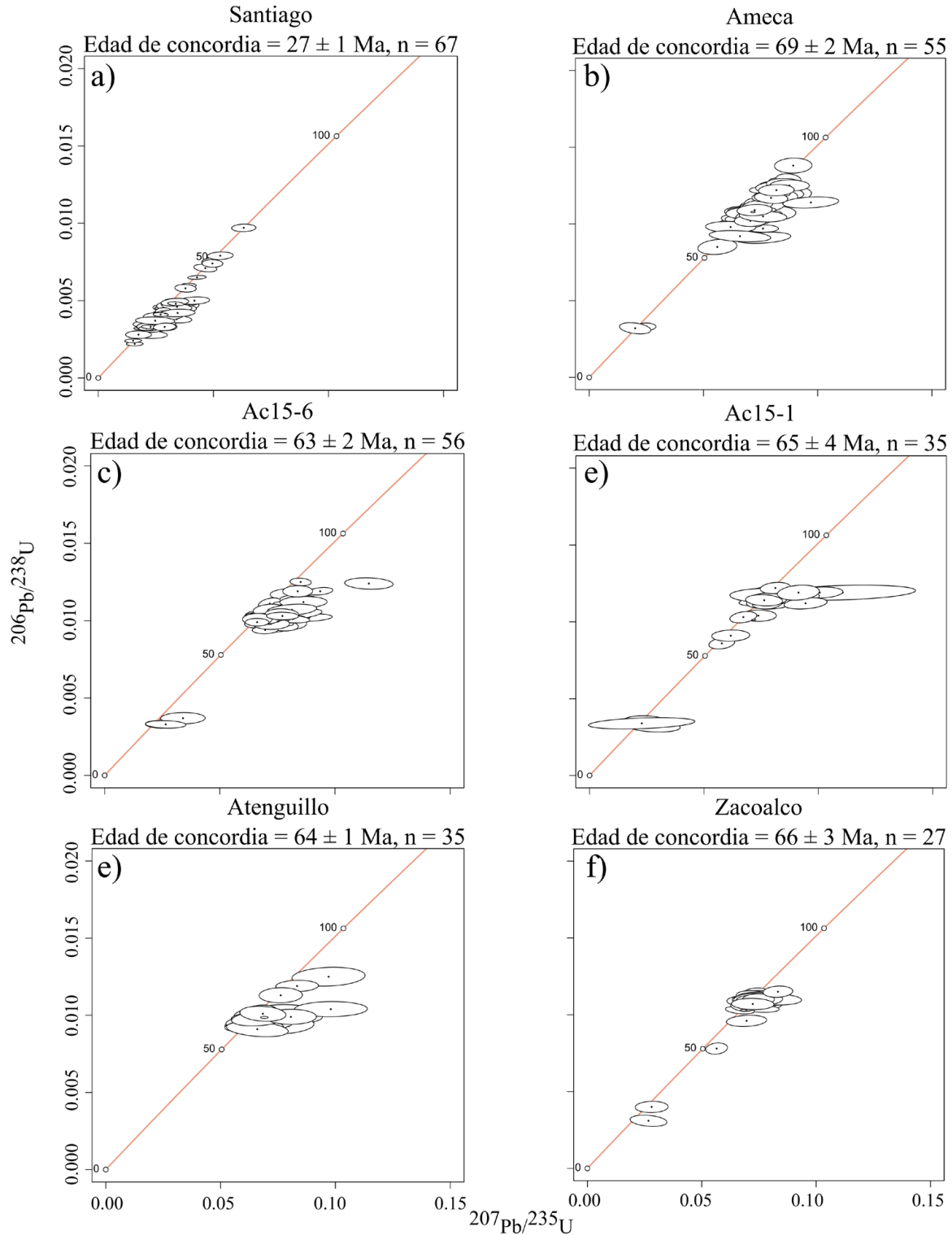


Muestra Zacualco



### Anexo 3. Diagramas de concordia de los zircones detríticos por muestra.

Las elipses de error fueron calculados con  $2\sigma$ . Los zircones fueron filtrados escogiendo aquellos dentro del rango  $\pm 1$  del valor promedio de la discordancia.



#### Anexo 4. Histogramas de edad de los zirrones detríticos por muestra.

Los zirrones fueron filtrados escogiendo aquellos dentro del rango  $\pm 1$  del valor promedio de la discordancia

